

# زمین‌شناسی، ژئوشیمی و خاستگاه احتمالی کانه‌زایی چند فلزی میوه‌رود، شمال باختر ایران

نوشته: حمایت جمالی<sup>\*</sup>، عبدالمجید یعقوب‌پور<sup>\*</sup> و بهزاد مهرابی<sup>\*\*</sup>

<sup>\*</sup> سازمان زمین‌شناسی و اکتشافات معدنی کشور، تهران، ایران  
<sup>\*\*</sup> دانشگاه تربیت معلم، تهران، ایران

تاریخ پذیرش: ۱۳۸۶/۱۱/۰۸ | تاریخ دریافت: ۱۳۸۵/۰۶/۲۰

## چکیده

کانسار میوه‌رود در ۵۰ کیلومتری شمال تبریز و ۶۵ کیلومتری باختر اهر، در شمال باختر ایران به مختصات جغرافیایی "۳۵° ۴۶' ۲۰" تا "۱۲° ۴۶' طول خاوری و "۵۲° ۳۴' ۲۸" تا "۲۳° ۳۳' عرض شمالی واقع است. قدیمی‌ترین سنگ‌ها شامل تناوب ستری از ماسه‌سنگ، شیل، سیلتستون، مارن و آهک مارنی به سن کرتاسه پسین-پالئوسن است که یک توده پورفیری و دایک‌هایی با ترکیب گرانو‌دیوریت تا دیاباز به سن احتمالی اولیگوسن در آنها نفوذ کرده است. در اثر نفوذ توده آذین در سنگ‌های پالئوسن، اسکارن و هورنفلس تشکیل شده است. همه سنگ‌های روسوی، سنگ‌های نیمه‌آشفشانی و دگرگون شده فوق، به صورت دگرشیب توسط تراکیت و تراکی آندزیت پلیوسن پوشیده شده است. دگرسانی‌هایی از نوع سریستیک، آرژیلیک، پروپلیتیک و سیلیسی شدن، پتاسیک (اندک) در سنگ‌های نفوذی و روسوی قابل مشاهده است ولی اثرات آنها در سنگ‌های آشفشانی دیده نمی‌شود.

بی‌هنجاری‌هایی از W, Bi, Sb, Cu, Ag, Au توسط مطالعات ژئوشیمیایی شناسایی شده که شواهد صحرایی نیز کانی‌سازی آنها را تأیید کرده است. از نظر زون‌بندی ژئوشیمیایی، هاله‌های عناسنر، Sb, Ag, Au در شمال منطقه و هاله‌های Mo, W, Cu, Co, Zn در جنوب منطقه گسترش دارند و درجه دگرگونی نیز از جنوب به شمال کاهش می‌باید. دگرسانی پتاسیک بیشتر در جنوب منطقه رخمنون دارد بنابراین می‌توان نتیجه گرفت که بخش جنوبی محدوده در مقایسه با بخش شمالی آن فرسایش بیشتری را تحمل شده است. هاله مركب As, Pb, Ag / Cu, W, Co نیز این نتیجه گیری را تأیید می‌کند. کانی‌سازی‌ها از نوع اسکارنی، رگه‌های ابی‌ترمال و رگه - رگچه‌های سیلیسی صفحه‌ای بوده و رگه‌های ابی‌ترمال را می‌توان در درون اسکارن و سنگ‌های دگرگونی همبrij مشاهده کرد که در واقع آن را قطع کرده‌اند.

## کلید واژه‌ها: چند فلزی، چند شکل، اسکارن، زون‌بندی ژئوشیمیایی، میوه‌رود

### ۱- مقدمه

منطقه مورد مطالعه در ۵۰ کیلومتری شمال تبریز و ۶۵ کیلومتری باختر اهر، بین طول‌های جغرافیایی "۱۲° ۴۶' ۲۰" تا "۳۵° ۴۶' ۲۰" خاوری و عرض‌های جغرافیایی "۵۲° ۳۴' ۲۸" تا "۲۳° ۳۳' ۳۸" شمالی، در شمال باختر ایران واقع شده است (شکل ۱). این منطقه، توسط کارشناسان شرکت منطقه‌ای معادن آذربایجان، در سال ۱۳۷۵ به عنوان پتانسیل معدنی فلزهای پایه و گرانبهای معرفی شده و حدود ۱۰۰۰ نمونه لیتوژئوشیمیایی در محدوده‌ای به وسعت تقریبی ۱۲ کیلومتر مربع برداشت و نمونه‌ها برای ۲۳ عنصر به روش طیف سنجی نشری تجزیه شده‌اند که از بین آنها فقط ۱۵ عنصر برای بررسی و پردازش انتخاب شده است و بقیه به دلیل دقت پایین تجزیه‌ها کنار گذاشته شده‌اند. ۱۷۴ نمونه نیز به روش جذب اتمی (کوره گرافیتی) برای طلا تجزیه شده است. به علاوه ۶۰ عدد مقطع نازک برای مطالعات سنگ‌نگاری و تعیین نوع و نحوه گسترش دگرسانی‌ها و نیز ۶۰ مقطع صیقلی و نازک صیقلی برای شناسایی انواع کانی‌های فلزی و نا‌فلزی و چگونگی ارتباط آنها با یکدیگر، مطالعه شده است. ضمانته نشانه ۱:۲۰۰۰۰ محدوده نیز بر اساس عکس هوایی، تهیه شده است (شکل ۲). کارهای اکتشافی شامل تهیه نقشه زمین‌شناسی و نمونه‌برداری سیستماتیک لیتوژئوشیمیایی توسط شرکت کاوشگران در سال ۱۳۷۶ در این منطقه انجام گرفته است. آنها کانه‌زایی این منطقه را از نوع پورفیری دیوریتی دانسته‌اند. بعد از آن در سال ۱۳۷۹ شرکت منطقه‌ای آذربایجان، در محدوده کوچکی در سمت خاوری روختانه میوه‌رود در حوالی بوزلوخ، که کانه‌زایی رگه و رگچه‌ای کوارتز در آن غالب است نمونه‌برداری لیتوژئوشیمیایی را انجام داده و بر اساس آن دو چاه حفاری به صورت افقی پیش‌بینی نموده‌اند. نتیجه این بررسی‌ها بیانگر ادامه کانی‌سازی‌های

فوق در عمق می‌باشد.

### ۲- زمین‌شناسی

بخش اعظم محدوده، از تناوب ستری از ماسه‌سنگ، شیل، سیلتستون، مارن و آهک مارنی به سن کرتاسه پسین - پالئوسن تشکیل شده است. این سنگ‌ها چن خورد و به صورت ناویدیسی با روند NW - SE در آمدۀ‌اند. بخش زیادی از آنها به علت نفوذ توده نیمه‌آشفشانی و دایک‌ها و سیل‌ها، دگرگون و به اسکارن و هورنفلس تبدیل شده است. کانی‌های اسکارنی از جمله اپیدوت، فلدسپار، لاوسونیت، آمفیبول، ولاستونیت، کلریت، گارنن (آندرادیت و گرسولار)، کلسیت، کوارتز، اکسیدهای آهن (مگنتیت، هماتیت - اولیژیست) و سولفیدها (پیریت و کالکوپیریت) در این سنگ‌ها تشکیل شده است (شکل ۳). گاه مقدار اپیدوت در سنگ به حدی است که می‌توان آن را اپیدوتیت نامید. اغلب اپیدوت‌ها از نوع پیستاسیت بوده ولی زویست و کلینزویست نیز مشاهده می‌شود. بعضی از اپیدوت‌ها و گارنن‌ها به علت تغییر در ترکیب، منطقه‌بندی نشان می‌دهند. براساس تجزیه نطفه‌ای EPMA گارنن‌ها آندرادیتی و اپیدوت‌ها پیستاسیتی بوده و غنی از فلورور هستند که احتمالاً بیانگر دحالت سیال‌های ماگمایی در تشکیل آنهاست. مطالعه ایزوتوپ‌های گوگرد در سولفیدهای بخش اسکارنی نیز بر منشاء ماگمایی سیالات به وجود آورند آنها تأکید دارد ( $S^{34} = 2.7 - +4.4$ ). ترکیب غنی از آندرادیت گارنن‌ها، معرف و قوع واکنش‌های متاسوماتیک و تشکیل اسکارن‌های منطقه در شرایط اکسیدی است. فراوانی پیریت و نبود پیروتیت نیز بر شرایط تشکیل اکسیدی دلالت دارد (علی‌ضایی ۵۳

شده، نسبت داده شده است. حاج مرادی (۱۳۷۷) نیز سنگ‌های منطقه مورد مطالعه را از نوع کلسیمی-قلایایی و مرتبط با فروراش می‌داند و کانه‌زایی منطقه را از نوع پورفیری دیوریتی تشخیص داده است. مطالعات علیرضایی و همکاران (۱۳۸۴) نیز توده‌های منطقه را کلسیمی-قلایایی آداکیتی تعیین کرده است. بنابراین سنگ‌های نفوذی منطقه از نوع کلسیمی-قلایایی و در ارتباط با فروراش هستند که احتمالاً مؤید نظر (Kazmin et al. 1986) است.

منطقه مورد مطالعه توسط گسلی با روند تقریبی شمالی - جنوبی به نام گسل میوه‌رود، منطبق بر مسیر رودخانه میوه‌رود قطع شده است. علاوه بر آن، چندین گسل عادی با روند خاوری-باخته و با شیب به سمت شمال در منطقه عمل کرده است. بر اثر عملکرد آنها بلوک‌های جنوبی نسبت به بلوک‌های شمالی به سمت بالا حرکت کرده و فرسایش بیشتری را متحمل شده‌اند. شاید به همین علت است که اسکارن‌های دما بالا و زون‌های دگرسانی پتاسیک در جنوب منطقه گسترش بیشتری دارد. تعدادی از شکستگی‌ها و گسل‌ها نیز دارای روند NE بوده که بخش مهمی از دایک‌ها و رگ‌های کانه‌دار در درون آنها تشکیل شده است.

### ۳- دگرسانی

دگرسانی‌هایی از نوع پتاسیک، سریستیک، پروپلیتیک، آرژیلیک و سیلیسی شدن در منطقه میوه‌رود رخ داده است که مشخصات کلی آنها در جدول ۱ خلاصه شده است: دگرسانی پتاسیک بیوتیت کانی مشخصه آن است به صورت پراکنده در متن سنگ و نیز به صورت جانشین کننده کانی‌های مافیک دیده می‌شود (شکل ۵). پتاسیم فلدسپار نیز به صورت بلورهای خیلی ریز در حاشیه کانی‌های فلدسپاتی تشکیل شده است (شکل ۶). این دگرسانی بیشتر در بخش‌های جنوبی محدوده، همراه با کانی‌سازی رگجه‌ای مس در منطقه غفار یوردی و محمد امین مشاهده می‌شود که از گسترش محدودی برخوردار است که احتمالاً دلیل آن جانشینی این دگرسانی توسط دگرسانی‌های تأخیری مانند دگرسانی فیلیک است و به همین سبب از حاشیه توسط دگرسانی فیلیک احاطه شده است. بی‌هنگاری‌های عناصر Co, Mo, Cu, Bi, W بر این دگرسانی منطبق است.

دگرسانی سریستیک همراه با کانی‌سازی رگجه‌ای و نیز در حاشیه رگ‌های کوارتز تشکیل شده است. در نزدیکی رگ‌های سریست کانی غالب است ولی به سمت بیرون بر مقدار کلریت اضافه می‌شود و می‌توان آن را زون سریست - کلریت نامید که به سمت بیرون به زون پروپلیتیک تبدیل می‌شود. در مجموع پهنه‌ای زون دگرسانی در حاشیه رگ‌ها کمتر از ۵ متر است. شکل ۷، دگرسانی نوع سریستیک را همراه با کانه‌زایی نوع رگ- رگجه‌ای نشان می‌دهد. دگرسانی پروپلیتیک گسترده‌ترین نوع دگرسانی در منطقه است و تقریباً تمام سنگ‌های منطقه را تحت تأثیر قرار داده است و دیگر انواع دگرسانی‌ها را در بر می‌گیرد.

دگرسانی آرژیلیک در مجاورت بلافضل برخی رگ‌های کوارتز سولفیددار، رخ داده است و گسترش آن به ندرت به ۵۰ سانتی‌متر می‌رسد و به نظر می‌رسد پدیده‌های ثانوی باشد. سیلیسی شدن یکی از گسترده‌ترین دگرسانی‌ها در منطقه میوه‌رود است. سیلیسی شدن به شکل رگجه‌های صفحه‌ای تقریباً موازی از سیلیس دودی رنگ و نیز به صورت فراگیر رخ داده است. رگجه‌های کوارتز با آرایش صفحات تقریباً موازی و شامل کوارتز تک مرحله‌ای با مقادیر کمی از کالکوپیریت، پیریت، بورنیت و گاه طلا است که در مساحت‌های چند ده متر مربعی، در چندین محل مشاهده می‌شود این بافت‌ها برخلاف بافت استوک و رک که به صورت رگجه‌های متقطع، در سامانه‌های پورفیری رایج است، بیشتر در سامانه‌های مرتبط با نفوذی‌ها دیده می‌شود (Carig, 2005). کانی‌های فلزی گاهی در وسط رگجه‌های کوارتز (شکل ۸) و گاه نیز به صورت

و همکاران، (۱۳۸۴).

دو رخساره دگرگونی همبودی در این محدوده قابل تشخیص است:  
 الف) رخساره آلتیت - اپیدوت هورنفلس (شامل گارنت + اپیدوت + پلازیوکلاز + کلسیت + کوارتز)  
 ب) رخساره هورنبند هورنفلس (شامل گارنت + ولاستونیت + هورنبند + کلسیت + پلازیوکلاز)

رخساره نوع دوم نشانگر تشکیل در دمای بیشتر بوده و به صورت محدود در بخش‌های جنوبی و جنوب خاوری محدوده دارد از رخنمون است. سنگ‌های آذرین به صورت سنگ‌های نیمه‌آتشفشاری و آتشفشاری در منطقه دیده می‌شود. سنگ‌های نیمه‌آتشفشاری به صورت یک توده کوچک پورفیری (در مرکز جنوب منطقه) و دایک‌هایی با دو روند SW - SE و NE - NW در مجموعه رسوبی پالتوسن نفوذ کرده‌اند. در برخی مناطق، دایک‌هایی با روند NE دایک‌هایی با روند NW راقطع کرده است. تراکم و تعداد دایک‌ها در منطقه زیاد است و برخی از آنها، مرکب بوده و توزیق چنباره با ترکیب‌های متفاوت را نشان می‌دهند. تجزیه ایزوتوپی گوگرد توده نفوذی پورفیری، دایک‌ها و اسکارن‌ها، دامنه محدودی از  $S^{34}$  -  $S^{38}$  = 2.5 - 1.0 (Shelley, 1993) که حاکی از منشاء ماقمایی گوگرد و آغشته‌گی کمتر آن به مواد پوسته‌ای است (علیرضایی و همکاران، ۱۳۸۴). در مطالعات میکروسکوپی، کانی‌های پلازیوکلاز، فلدسپار پتاسیم، آمفیبول، کوارتز، بیوتیت و آپاتیت در این سنگ‌ها تشخیص داده شده است. بافت آنها اغلب پورفیری بوده و پریت در فلدسپارهای پتاسیم مشاهده نمی‌شود (شکل ۴). مگنتیت و سولفیدها (پیریت) نیز در این سنگ‌ها دیده می‌شوند. مگنتیت اولیه گاه تا ۱ درصد حجم سنگ را تشکیل می‌دهد که بیانگر فوگاسیته بالای اکسیژن است و می‌تواند دلیلی بر آبدار بودن ماگمای تشکیل دهنده آنها باشد (Muller & Groves, 1997). نبود بافت پریت در فلدسپارهای پتاسیم نیز به فشار زیاد بخار آب در محیط نسبت داده شده است (Shelley, 1993).

سنگ‌های نیمه‌آتشفشاری در برخی مناطق، متحمل دگرسانی شده و کانی‌سازی‌هایی از مس و طلا در آنها دیده می‌شود. دگرسانی‌ها بیشتر از نوع سریستی شدن، پتاسیک و گاه سیلیسی شدن و آرژیلی شدن است. سنگ میزبان بخش اعظم کانی‌سازی‌های نوع رگجه‌ای سنگ‌های نیمه‌آتشفشاری هستند. تراکم زیاد دایک‌ها، تشکیل اسکارن و هورنفلس در محدوده وسیع، دگرسانی‌های گرمابی زیاد و شکستگی‌های فراوان در جهات مختلف، احتمالاً از وجود یک توده نفوذی بزرگ در عمق حکایت دارد که توده‌های نیمه‌آتشفشاری نیز می‌تواند زبانه‌هایی از آن باشد. از آنجا که دایک‌های منطقه در سنگ‌های کرتاسه بالایی - پالتوسن نفوذ کرده‌اند بنابراین جوانتر از آنها هستند و از آنجا که سن بیشتر توده‌های نفوذی زون ارسپاران به اویلگوسن نسبت داده شده است (معین وزیری، ۱۳۷۶) احتمالاً می‌توان توده‌های منطقه را نیز به اویلگوسن نسبت داد. سنگ‌های آتشفشاری پلیوسن با ترکیب تراکیت و تراکی آندزیت در باخته و خاور محدوده به صورت دگرشیب و واحدهای فوق را پوشانده و در شمال خاور منطقه، قله مخروطی تشکیل داده است.

معین وزیری (۱۳۷۶) نتیجه مقایسه قلایینگی (آلکالینیتیه) سنگ‌های آذرین سه محور ارومیه- دختر، ایران مرکزی و البرز را به صورت زیر خلاصه کرده است: از ارومیه دختر به طرف ایران مرکزی و البرز، بر فراوانی سنگ‌های سنگ‌های قلایایی، به خصوص قلایایی پتاسیک افزوده می‌شود و در مقابل از فراوانی سنگ‌های کلسیمی- قلایایی کاسته می‌شود. به همین دلیل این پدیده را به فروراش نسبت داده است. Kazmin et al. (1986) ماگماتیسم ترشیری ایران را به سه زون فروراش مختلف نسبت داده‌اند که یکی از آنها کربن‌دیاتیتی- آتشفشاری البرز - بینالود است که به مصرف پوسته اقیانوسی حوضه بین زون ارومیه- دختر و صفحه توران که در کرتاسه ایجاد

دارند و هر دو توسط بی‌هنجاری Sb در بر گرفته شده‌اند. به نظر(2005) Carig در سامانه‌های مرتبط با نفوذی، عناصر Bi, W, Mo, Te (proximal) و عناصر Ag, As, Sb در بخش‌های حاشیه‌ای سامانه، تمکزهای بالای را نشان می‌دهند که این زون‌بندی در منطقه میوه‌رود نیز تا حدودی قابل مشاهده است. با توجه به انطباق بی‌هنجاری Cu و As با عناصر زیرکانساری و روی کانساری و نیز ضربه همبستگی بالای آن بر دو دسته، می‌توان آنها را در زمرة عناصر میان کانساری نیز به حساب آورد، ثبت بی‌هنجاری‌های As در بخش‌های مختلف منطقه، می‌تواند بیانگر حضور آن در فازهای کانیایی مختلف (مانند تراهدریت و آرسنوبیریت) باشد (Beus and Grigorian, 1977).

از آنجا که هاله‌های مرکب در مقایسه با هاله‌های تک عنصری، بزرگ‌تر و چشم‌گیرتر هستند و نیز اثرات خطاهای تصادفی در آنها به حداقل کاهش می‌یابد و نیز نسبت به سیمای ساختاری -زمین‌شناختی مرتبط با نهشته‌های کانساری، رابطه نزدیک‌تری دارند، لذا هاله مرکب Ag.Pb.Sb/Cu.W.Co مورد بررسی قرار گرفت. شکل ۱۳ نشانگر یک نوع زون بندی در هاله‌هاست، بدین صورت که هاله نسبت عناصر روی کانساری به زیر کانساری، بیشترین مقدار را در شمال منطقه نشان می‌دهد. این زون بندی ژئوشیمیایی با توزیع انواع دگرسانی‌ها، شکل کانی‌سازی و درجه دگرگونی همبزی، ارتباط نشان می‌دهد. بدین صورت که شدت دگرگونی و دگرسانی از جنوب به شمال در منطقه کاهش پیدا می‌کند.

## ۵- کانه‌زایی

ماگماتیسم ترشییری در ایران، از جمله منطقه آذربایجان، با کانی‌سازی فلزهای مختلف از جمله Mo, Cu, Fe, Au, U, As, Sb همراه بوده و تیپ‌های مختلفی از کانی‌سازی این فلزها مانند اسکارن، پورفیری، رگه‌های گرمابی و یا مجموعه‌ای از آنها همراه با این توده‌ها دیده می‌شود که از آن جمله می‌توان به کانسارهای سونگون و بارملک (Cu,Mo), اسکارن‌های مس - آهن طلدار مزروعه و گودال، رگه‌های Au-As خوینزود، رگه‌های طلدار شرف‌آباد و زیلیک، رگه‌های طلا- مس و اورانیم قره چیلر و نیز استوکر کهای مس - طلای نبی جان و مسجد داغی اشاره کرد (Bazine and Hubner, 1969؛ Shukohi, ۱۳۸۱؛ بنی آدم، ۱۳۸۴؛ زنوزی، ۱۳۸۵؛ قدیم‌زاده، ۱۳۸۱؛ پورنیک، ۱۳۸۱؛ شرکت پیچاب کاوش، ۱۳۸۱).

در منطقه میوه‌رود غنی شدگی‌های قابل ملاحظه‌ای از عناصر Mo, W, Sb, Cu, Ag, Au همراه با ماگماتیسم ترشییری (اویلگوسن) رخ داده است. این کانی‌سازی‌ها در شکل‌ها و تیپ‌های مختلف رخ داده و آنها را می‌توان در کنار هم یا در درون هم مشاهده کرد که این موضوع به فرایند برم نهش (Overprinting) یا تلسکوپینگ (Telescoping) نسبت داده می‌شود (جمالی، ۱۳۷۷). حضور شکل‌های متنوع کانه‌زایی در یک منطقه کانه‌دار از ویژگی‌های کانسارهای مرتبط با نفوذی‌ها است (Carig, 2006). تیپ‌های مختلف کانی‌سازی در این منطقه شامل اسکارن، رگه - رگچه‌های صفحه‌ای تقریباً موازی و رگه‌های اپی‌ترمال است که شرح مختصر آنها ارائه می‌شود.

## ۱- کانه‌زایی نوع اسکارن

سنگ‌های رسوبی پالئوسن شامل تنابوی از سنگ‌آهک، مارن، شیل آهکی، ماسه‌سنگ و سیلتستون، در اثر نفوذ توده آذرین دگرگون و به اسکارن و هورنفلس تبدیل شده‌اند. اسکارن‌ها بیشتر در سنگ‌هایی که ترکیب کربناتی و مارنی داشته‌اند رخ داده است. کانه‌های این کانه‌زایی اپیدوت، کلیست، کوارتر، اسکاپولیت، گارنت (آندرادیت، گروسوپلار)، آمفیبول و فلدسپار است که با کانه‌های فلزی مگنتیت، هماتیت، پیریت و کالکوپیریت همراه است. گارنت و اپیدوت رایج‌ترین کانه‌های گزارش شده در اسکارن‌های

پراکنده در متن سنگ میزان رخ داده‌اند (شکل ۹). در سیلیسی شدن فراگیر، کوارتر به صورت دانه‌های ریز در متن سنگ و گاهی نیز رگچه‌های میکروسکوپی در سنگ تشکیل شده است. گاهی مقدار سیلیس در سنگ به حدی زیاد است که تشخیص سنگ اولیه را ناممکن می‌کند (شکل ۱۰). با این که پیریت همراه با این نوع دگرسانی زیاد است ولی در نمونه‌های تجزیه شده از این سنگ‌ها مقدار طلا اندک است.

علاوه بر آنها، کوارتر به صورت رگه نیز دیده می‌شود و در این حالت اغلب درشت بلور بوده و به صورت پرکنده فضاهای خالی دیده می‌شود. کوارتر در بعضی از رگه‌ها ریز بلور تانهان بلوری بوده و در این شرایط با کانه‌های دما پایین مانند استینینت همراه است و رنگ آن به خاکستری می‌گراید. این نوع رگه‌ها در بخش شمالی محدوده دیده می‌شود. ساخت و بافت‌های مختلف از قبیل شانه‌ای، دروزی، حفره پرکن، کوکاد، برشه و نظایر آنها که نشانگر شرایط اپی‌ترمال است در رگه‌های سیلیسی مشاهده می‌شود. سولفیدهای مختلف از جمله کالکوپیریت، پیریت، گالن و استینینت همراه کوارتر در این رگه‌ها دیده می‌شود. بیشترین عیار طلا در رگه‌های کوارتر سولفیدار مشاهده شده است.

## ۴- ژئوشیمی

بررسی‌های زمین‌شیمیایی بر روی ۱۰۰ نمونه که از زون‌ها و رگه‌های کانه‌دار برداشت شده و به روش طیف‌سنگی تجزیه شده‌اند، انجام شده است. برای تجزیه طلا نیز از روش جذب اتمی استفاده شده است. بعد از بررسی دقت تجزیه‌ها با استفاده از نمودار Thompson & Howarth (1976) تعیین نحوه توزیع عناصر با استفاده از نمودارهای توزیع، با توجه به نوع توزیع عنصر که اغلب از نوع لوگ-نمایل بوده، پارامترهای آماری (شامل میانگین، میان، انحراف معیار، ضربه تغییرات...) برای هر کدام از عناصر محاسبه شده است (جدول ۲).

در این تحقیق از روش آماری E.D.A (Exploratory Data Analysis) برای تعیین آستانه بی‌هنجاری (Fu) استفاده شده است. چون موقعیت میانه و محدوده ربع داخلی که به روش EDA به دست می‌آید، در مقایسه با میانگین و انحراف معیار، تأثیرپذیری کمتری را از مقدایر بسیار بالا نشان می‌دهد (Yusta et al., 1998). با توجه به جدول ۲، می‌توان گفت غنی شدگی قابل ملاحظه‌ای از Mo, W, Sb, Cu, Ag, Au در منطقه رخ داده است. برای بررسی ارتباط عناصر مختلف با ضربه همبستگی بین عناصر استفاده شده است (جدول ۳). در مواردی که از ضرایب همبستگی برای برقراری ارتباط زایشی میان عناصر استفاده شده، ضرایب محاسبه شده در سطح اعتماد ۹۹ درصد یا بالاتر منظور شده است. با استفاده از ضربه همبستگی بین عناصر، سه گروه زیر قابل تفکیک هستند:

- ۱- گروه (Au - Ag - Pb - Sb - As)
- ۲- گروه (W - Cu - Bi - Mo - Sb)
- ۳- گروه (V - Cr - Mn - Ni - Co)

علاوه بر این که عناصر هر گروه ضربه همبستگی بالای دارند، بی‌هنجاری‌های آنها نیز با همدیگر همپوشانی دارد. حضور پاراژنیتیکی کانی‌های گالن و استینینت با کانی‌های مس و طلا و نیز عیار بالای طلا در رگه‌های حاوی سولفید، این گروه‌بندی را تأیید می‌کند. عناصر گروه یک بیشتر در کانه‌زایی رگه‌ای و عناصر گروه دوم در کانه‌زایی رگچه‌ای - پراکنده بی‌هنجاری نشان می‌دهند.

عناصر گروه ۱ به عنوان عناصر روی کانساری و عناصر گروه دوم به عنوان عناصر زیر کانساری در نظر گرفته شده‌اند. نقشه بی‌هنجاری عناصر، نشان می‌دهد که عناصر زیر کانساری بیشتر در جنوب منطقه و عناصر فوق کانساری در شمال محدوده بی‌هنجاری نشان می‌دهند (شکل ۱۱ و ۱۲). بی‌هنجاری طلا و نقره همپوشانی زیادی

کانسارهای مس پورفیری تشکیل می‌شوند ولی از نظر میزان ذخیره و نحوه گسترش زون‌های دگرسانی با آنها تفاوت دارند و ذخایر از Au, Mo, W, Cu تشکیل دهنده نمونه‌ای از آن کانسار اورتیز در نیومکریکو است. این معدن در حاشیه یک دودکش آتشفسانی اولیگوسن واقع شده است. دایک‌های نفوذی و سیل‌های لاتیت پورفیری و تراکی آندزیتی درون و در مجاورت دودکش دیده می‌شود. تنوره برشی کوارتزیت و آرژیلیت‌های کرتاسه را قطع کرده است و حاوی طلا، پیریت، شلتیت، مگنتیت، گالن، اسفالریت و کالکوپیریت در خمیره سیلیسی شده برش مذکور است. دگرسانی شامل سیلیسی شدن، آلیتی شدن و سریستی شدن است. دگرسانی‌ها و توزیع عناصر در این کانسارها با افزایش عمق زون‌بندی نشان می‌دهد که این مسئله در منطقه میوه‌رود تا حدودی قابل تشخیص است در منطقه غفار یوردی که فراسایش پیشتری متحمل شده، دگرسانی پتاسیک قابل مشاهده است و بی‌هنجری‌های Cu, Bi, Mo, W دیده می‌شود در حالی که در شمال محدوده (بیوک وواری) دگرسانی پتاسیک دیده نمی‌شود و بی‌هنجری‌های Au, Ag, As, Sb, Cu ثبت شده است. کانی‌سازی‌های مشابه در دیگر نقاط ارسپاران، در حوالی روستای نبی‌جان و مسجدداغی نیز در سال‌های اخیر توسط کارشناسان سازمان زمین‌شناسی معرفی شده است که با سنگ‌های نیمه‌آتشفسانی و آتشفسانی ترشیری همراه است. کانه‌زایی در منطقه نبی‌جان شامل اسکارن همراه با استوکورک‌های مرتبط با توده نفوذی (شکوهی، ۱۳۸۱؛ بنی آدم، ۱۳۸۴) و در مسجد داغی رگه‌های کوارتز اپی‌ترمال همراه با کانه‌زایی استوک ورک (احتمالاً پورفیری) (زنوزی، ۱۳۸۵) است.

### ۳-۵ کانی‌سازی نوع رگه‌ای

بعضی از ذخایر کوارتز رگه‌ای از نظر فضایی در ارتباط با توده‌های نفوذی بوده و از تیپ اپی‌ترمال آدولاریا-سریستی هستند که به طور بخشی ساخت و بافت پوسته‌ای نشان می‌دهند و در سنگ دیواره تا استوک پورفیری دیده می‌شوند، محدود به ساختارهای شکننده هستند و به طور محلی پارامترهای سنگ‌شناختی همچون همبrijی‌ها، برخشنی طلا در آنها مؤثر است و معمولاً فلزهای پایه همراه بوده و دگرسانی سریستی پاریک در اطراف رگه‌ها دیده می‌شود (Foster, 1991).

رگه‌هایی از کوارتز همراه با کمی کانی‌های سولفیدی بویژه پیریت، کالکوپیریت، گالن و استینیت در سنگ‌های نیمه‌آتشفسانی و نیز سنگ‌های دگرگونی همبrijی دیده می‌شود. تشکیل رگه‌های کانه‌دار بعد از دگرگونی رخ داده و در واقع بر روی آنها تحمیل (Overprint) شده است. این رگه‌ها دارای امتداد عمومی NNE بوده و سترای آنها از چند سانتی‌متر تا چند متر در تغییر است، طول آنها به ندرت از صد متر فراتر می‌رود و اغلب آنها شبیه نزدیک به قائم دارند. باطله اصلی کوارتز است که به صورت بلورهای درشت بی‌رنگ تا سفید و نیز به صورت نهان بلورین دیده می‌شود. در جاهایی که کوارتز ریز بلور است رنگ آن به خاکستری می‌گراید. بر اساس مطالعات صحرایی و میکروسکوپی دست کم سه نسل کوارتز در برخی از رگه‌ها دیده می‌شود. نوع اول شامل بلورهای درشت کوارتز و فاقد سولفید است و در دیواره‌های رگه رشد کرده است. نوع دوم شامل بلورهای شفاف و ریز کوارتز است که بر روی دانه‌های کوارتز مرحله قبل رشد کرده است، آنها نیز فاقد سولفید هستند. مرحله سوم با کانه‌های سولفیدی (پیریت، کالکوپیریت، گالن و استینیت) همراه است. در رگه‌هایی که مرحله سوم مشاهده نمی‌شود، عیار طلا بسیار پایین است. ولی در رگه‌های حاوی کوارتز مرحله سوم که سولفیدها نیز حضور دارند عیار طلا بالاست. این مطلب شاید بیانگر این باشد که طلا توسط کمپلکس‌های بی‌سولفیدی حمل شده و در هنگام نهشتن کانی‌های سولفیدی، طلا نیز ته‌نشین شده است. ضریب همبستگی بالا بین طلا و فلزهای Pb, Cu, Ag, Sb نیز مؤید این مطلب است. در رگه بوزلخ قالب‌های تهی شده

طلادار است (حسنی پاک، ۱۳۸۱؛ Karimzadeh, 2004) و Foster & Seccombe, 2004 که به طور مشخص محصول دگرسانی هستند و در اسکارن‌های منطقه به وفور یافت می‌شوند. لازم به ذکر است که خرد شدن دانه‌های گارنت و پر شدن شکاف‌های آن توسط کلسیت یا کوارتز، رشد بلورهای اپیدوت و کوارتز بر روی بلورهای گارنت و لاستونیت یا قطع شدن مرز بلورهای آنها توسط این کانی‌ها، می‌تواند نشانگر این باشد که گارنت و لاستونیت در مرحله اولیه (پیشونده) و اپیدوت، کوارتز و کلسیت در مرحله بعدی (پسروند) تشکیل شده است (شکل ۳). در بعضی مناطق مقدار مگنتیت و کالکوپیریت بالاست ولی حجم آنها در مقایسه با کانسارهای اسکارنی مانند گودال و مزرعه اندک است و در سطح ذخیره قابل توجهی را نشان نمی‌دهد. مگنتیت فراوان ترین کانه در اسکارن‌ها بوده که اغلب ماریتی شده است. پس از مگنتیت، پیریت فراوانی بیشتری دارد که به صورت پراکنده و گاهی نیز به صورت رگچه‌هایی در سنگ‌های اسکارنی تشکیل شده است. کالکوپیریت نیز به مقدار اندک وجود دارد که نسبت به پیریت تأخیری تر است (شکل ۲-۳-ج و جدول ۴). علاوه بر Fe, Cu، عناصر Au, Ni, Co, Mo از جمله غفار یوردی (آهن موجود در منطقه ارسپاران از جمله مزرعه و گودال غنی‌شده‌گی‌هایی از طلانشان می‌دهند (جمالی، ۱۳۸۴).

### ۵-۲-رگه - رگچه‌های صفحه‌ای (sheeted veins & veinlets)

این برش‌ها عموماً سنگ‌شناسی سنگ دیواره را قطع می‌کنند بنابراین احتمالاً توده‌های نفوذی پنهان مرتبط هستند. بخش رخمنون یافته نفوذی‌ها اغلب به شکل دایک و یا سیل ظاهر پیدا می‌کند که احتمالاً در ارتباط زایشی (ویا فیزیکی) با توده‌های نفوذی پنهان است. طلا و کانی‌سازی مرتبط با آن بادگرسانی تخریب فلدسپاتی و با تشکیل سریست و کربنات‌ها همراه است. این نوع کانی‌سازی شامل رگچه‌های کوارتز دودی تک مرحله‌ای تقریباً موازی با اندکی کانی سولفیدی است (شکل ۱۴) که با استوکورک که در آن رگچه‌ها هم‌دیگر را قطع می‌کنند، تا حدودی متفاوت است و از ویژگی‌های کانی‌سازی طلای مرتبط با نفوذی‌هاست (Carig, 2005). بخش مهمی از کانی‌سازی مس و طلا در منطقه میوه‌رود از این نوع است که اغلب در سنگ‌های نیمه‌آتشفسانی رخداده است. هر چند در سنگ‌های رسوبی دگرگون شده هم دیده می‌شود. توزیع محل این نوع کانه‌زایی، اغلب بر منطقه محوری ناویدیس میوه‌رود منطبق است (شکل ۱۵).

بی‌هنجری‌های عناصر W, Mo, Cu, Sb, As با این نوع کانی‌سازی همپوشانی یا انطباق دارد و طلا همراه پیریت، کالکوپیریت، بورنیت و کوارتز تشکیل شده است (شکل ۱۶). بورنیت‌ها دارای بافت بروون رانشی کالکوپیریت در بورنیت هستند (شکل ۱۷) که معرف دمایی در حدود ۳۰۰ درجه سانتی‌گراد است (Ramdohr, 1980). کانه‌ها در بخش وسطی رگچه‌های کوارتز (شکل ۸) و گاه به صورت پراکنده در متن سنگ میزبان قابل مشاهده هستند (شکل ۹).

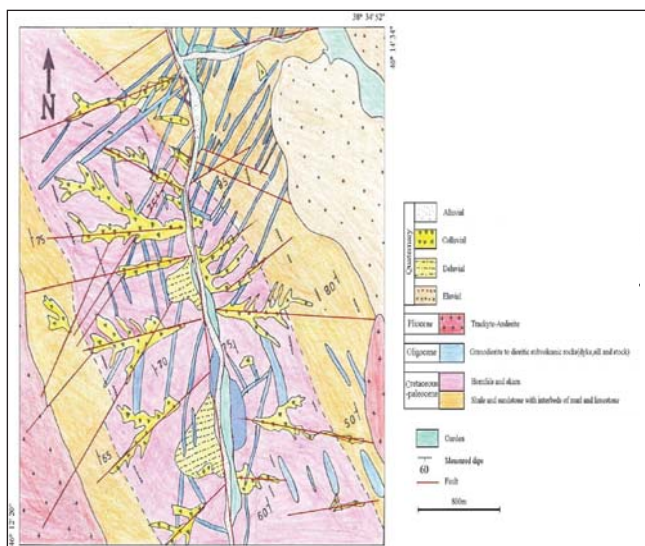
دگرسانی غالب همراه این کانی‌سازی، از نوع فیلیک است ولی در منطقه غفاریوردی به علت فراسایش بیشتر، دگرسانی پتاسیک نیز رخمنون پیدا کرده است که به سمت بیرون به دگرسانی فیلیک تبدیل می‌شود. زون‌های دگرسانی پتاسیک و فیلیک محدود به منطقه کانه‌دار بوده و خارج از منطقه کانه‌دار، فقط دگرسانی پروپلیتیک دیده می‌شود. محدود بودن دگرسانی‌های پتاسیک و فیلیک به زون کانه‌دار و عدم گسترش زیاد آنها، از ویژگی‌های توره‌های برشی نامرتبط با مس پورفیری است. سنگ‌شناسی، زون‌های دگرسانی، ترکیب کانیابی و عنصری، ساخت و بافت این نوع کانی‌سازی، مشابه کانه‌زایی نوع توره‌های برشی مرتبط با توده‌های نفوذی است. (Sawkins, 1990) برای این نوع کانه‌سازی دمایی در حدود ۴۰۰-۴۰۰ درجه را پیشنهاد می‌کند. این تیپ ذخایر در محیط‌های زمین‌شناسی مشابه با

کانسارهای مختلف از جمله الوال اسپانیا (Martin Izard & Cepedal, 1997) و آکویال (Sillito, 1990) گزارش شده است. بنابراین می‌توان گفت که کانسار میوه‌رود، یک کانسار چند شکلی است که در اثر محلول‌های ناشی از توده نفوذی در سنگ‌های رسوبی پالئوسن (که دگرگونی همیری متتحمل شده است) و نیز در خود سنگ‌های نیمه‌آتشفسانی تشکیل شده است. آبدار بودن ماسه‌گامای تشکیل دهنده این توده‌ها، مؤید نقش مؤثر آنها در کانه‌زایی است. بالا بودن فوگاسیته اکسیژن نیز عامل موثری است. مطالعه ایزوتوپ‌های گوگرد نیز بیانگر نشأت گرفتن سیالات کانه‌ساز از توده‌های نیمه‌آتشفسانی است. حضور بخشی از کانه‌زایی در سنگ‌های نیمه‌آتشفسانی و نبود آن در سنگ‌های آتشفسانی پلیوسن نیز نشان می‌دهد که آتشفسانی پلیوسن نقشی در کانه‌زایی نداشته است. پس می‌توان گفت نفوذ توده‌های آذرین در سنگ‌های پالئوسن سبب دگرسانی و دگرگونی آنها شده و کانه‌زایی‌های طلامس (ونقه و آنتیمون) را در منطقه به وجود آورده است. عیار Au و Cu در کانه‌زایی رگه‌ای و رگجه‌ای بالاست (جدول ۱) و از گسترش زیادی بر خوردار است. رگه‌های کوچکی از آنتیمون که عیار بالاتر از طلانیز دارند (تا ۳ ppm) در بخش‌های شمالی منطقه مشاهده می‌شود. در اسکارن‌های توده‌ای Cu تا ۱ درصد و Au تا ۰/۷ گرم در تن و Mo ۷۰۲ تا ۷۰۴ گرم در تن اندازه گیری شده است (عین‌علی، ۱۳۸۴).

## ۶- نتیجه‌گیری

کانی‌سازی‌هایی از Ag, Sb, Cu, Au به شکل‌های مختلف از جمله اسکارن، زون‌های برشی همراه با رگجه‌های سیلیسی موازی و رگه‌های کوارتز در منطقه میوه‌رود رخ داده و گاهی دو نوع اخیر در درون نوع اول تشکیل شده است.

- تشکیل اسکارن، هورنفلس، کانی‌سازی و دگرسانی‌های گسترده در سنگ‌های منطقه و نیز تعداد زیاد دایک‌ها و سنگ‌های نیمه‌آتشفسانی می‌تواند نشانه‌ای از حضور یک توده بزرگ در زیر منطقه باشد.
- با این که کانه‌زایی در شکل‌های مختلف و در چند مرحله رخ داده ولی سیال به وجود آورنده آنها مشابه بوده و از یک منشأ نفوذی سرچشم می‌گرفته است. مقادیر ایزوتوپی گوگرد و نیز آبدار بودن ماسه‌گامای سنگ‌های نیمه‌آتشفسانی مؤید نقش سیال‌های ماسه‌گامای در تشکیل کانه‌زایی می‌باشد.
- بر اساس شواهد ژئوشیمیایی، سنگ‌نگاری، دگرسانی و مشاهدات صحرایی، بخش جنوبی منطقه فرسایش بیشتری را نسبت به بخش شمالی آن محمل شده است.



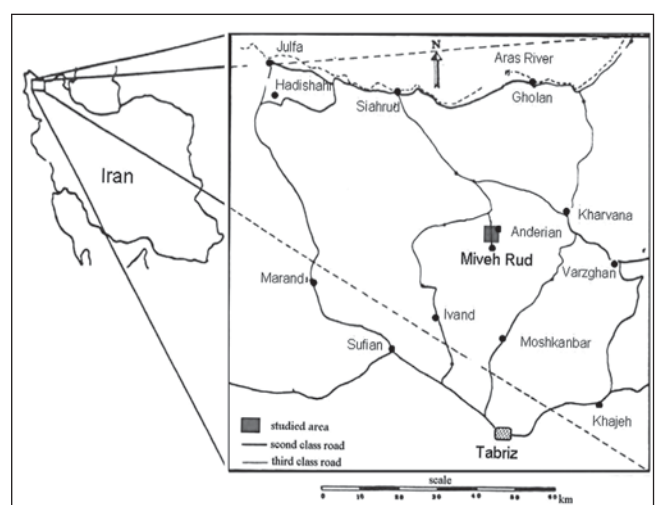
شکل ۲- نقشه زمین‌شناسی منطقه میوه‌رود.

گریبات‌های تیغه‌ای که نشانه‌ای از جوشش ثانویه است (Hedenquist et al., 1996) دیده می‌شود که مقدار طلا و سولفید نیز در این محل زیاد است و عیار طلا با فاصله گرفن از این محل به شدت افت می‌کند. بنابراین احتمالاً جوشش ثانویه سبب ناپایداری کمپلکس‌ها و ته نشست طلا و عناصر همراه شده است. مطالعه میانبارهای سیال، به درک این مطلب کمک خواهد کرد. تشکیل ساخت کوکاد و برشی شدن کوارتزهای از قبل تشکیل شده که احتمالاً ناشی از افزایش فشار بخار بوده، سبب جوشش شده که به عقیده (Hedenquist & Henley, 1987) این نوع جوشش و برشی شدن، سازوکار غالب رسویگداری طلا در محیط‌های اپی‌ترمال است.

ساخت و بافت‌های متنوعی از کوارتز، مانند شانه‌ای، دروزی، نواری پوسته پوسته و کوکاد در رگه‌ها دیده می‌شود که نشان از تشکیل در ژرفای کم و فشار پایین است. این بافت‌ها معمول محیط‌های اپی‌ترمال هستند (Guilbert & Park, 1986). دگرسانی نیز یک زون بندی تدریجی از خود رگه به سمت بیرون نشان می‌دهد که از دیواره به سمت بیرون شامل زون سیلیسی، سریسیتی، سریسیتی-کلریتی و پروپلیتیک است. کانی‌های رسی و اپیدوت، اکنیتولیت و کلسیت نیز دیده می‌شود. این زون بندی در اطراف رگه‌های دیگر کانسارهای اپی‌ترمال از جمله کانسار آکوپان فلیپین نیز گزارش شده است (Cooke et al., 1996).

مقادیر  $5^{34}\text{S}$  کانی‌های سولفیدی در سنگ‌های نیمه‌آتشفسانی در محدوده ۱-۲/۵ در هزار است که در محدوده مقادیر ماسه‌گاماهای گوشته‌ای است. نسبت ایزوتوپ‌های سیال‌های ماسه‌گامایی در کانی‌سازی و تشکیل سولفیدها در است و این نشانگر نقش سیال‌های ماسه‌گامایی در کانی‌سازی و تشکیل سولفیدها در زون‌های مختلف است. ضمناً مقادیر  $5^{34}\text{S}$  سولفیدها در کانسار میوه‌رود قابل مقایسه با نسبت‌های ایزوتوپی در کانی‌های سولفیدی زون پتاسیک و فلیک معدن مس سونگون است. نتایج تجزیه ایزوتوپی، زمین‌شیمی سنگ‌کل و داده‌های EPMA نشان می‌دهد که سیال‌های ماسه‌گامایی مشترکی در کانی‌سازی در توده‌های پورفیری، دایک‌ها و اسکارن‌ها نقش داشته‌اند (ارجمانی و علیرضاپی، ۱۳۸۴).

با توجه به شواهد بالا، سیال سازنده کانسار میوه‌رود، یک سیال ماسه‌گامایی بوده که مواد معدنی خود را به شکل‌های مختلف مانند اسکارن، رگه-رگجه‌های صفحه‌ای و رگه‌های بزرگ کوارتز بر جای نهاده است. دونوع اخیر در داخل اسکارن‌ها و سنگ‌های دگرگونی مجاورتی رخ داده است که می‌تواند بیانگر فرایند تلسکوپی شدن باشد. این حالت در



شکل ۱- راه‌های ارتباطی منطقه میوه‌رود.

این منطقه که با رنگ قرمز مشخص است در شمال شهر تبریز واقع شده است.

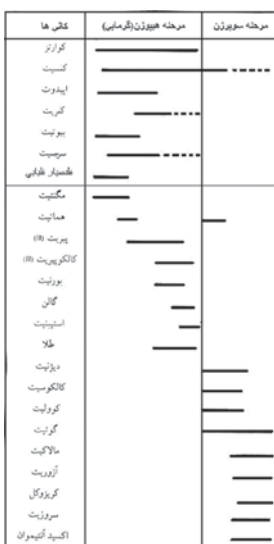
جدول ۱ - مشخصات کلی زون‌های دگرسانی در منطقه میوه‌رود

نوع دگرسانی	کانی‌های شاخص	کانی‌های فلزی	فرم رخداد	سنگ میزان و کانی سازی همراه
پتاویک	بیوتیت + سریسیت + فلدسپار پتاویم $\pm$ کوارتز $\pm$ آمفیبول $\pm$ کلریت	مگنتیت، هماتیت پیریت، کالکوپیریت بورنیت	فرآگیر ورگچه‌ای	سنگ‌های نیمه‌آتشفشانی، همراه با کانی سازی نوع رگچه‌ای
سریسیتیک (فیلیک)	کوارتز + سریسیت $\pm$ کلریت	پیریت، کالکوپیریت	فرآگیر رگچه‌ای و انتخابی	اغلب در سنگ‌های نیمه‌آتشفشانی و همراه با کانی سازی رگچه‌ای و رگه‌ای
پروپلیتیک	ایپدوت + کلریت + کلسیت $\pm$ سریسیت $\pm$ کوارتز $\pm$ کانی‌های رسی	پیریت + کالکوپیریت	فرآگیر و رگچه‌ای	در اغلب سنگ‌های منطقه دیده می‌شود و کانزایی‌ها را در بر می‌گیرد
آرژیلیک	کانی‌های رسی با کمی سریسیت	پیریت	به صورت زون باریک در حاشیه رگه	در مجاورت بالفصل بعضی از رگه‌های کوارتز - سولفید
سیلیسی شدن و تشکیل رگه‌های سیلیسی	کوارتز	پیریت، کالکوپیریت گالن، استینیت طلا	رگه - رگچه فراگیر بافت‌های شانه‌ای، دروزی، پوسته پوسته حفره پر کن کوکاد و برشی در رگه‌های کوارتز همراه است.	در اغلب سنگ‌های منطقه رخ داده و بخش مهمی از کانی سازی‌ها با این نوع دگرسانی و تشکیل رگه‌های سیلیسی همراه است.

جدول ۳- ماتریس همبستگی عناصر در منطقه میوه‌رود (علامت \* ضرایب همبستگی که در سطح اعتماد ۹۹ درصد با اهمیت هستند را نشان می‌دهد).

	Ag	Sb	As	Pb	Zn	Cu	Mo	Co	Ni	Bi	W	Cr	Ba	Mn
V	0	-.23	-.13	.19	.004	.12	.01	.18	.27	-.17	.13	*.55	.04	.09
Mn	-.36	.7	.27	.1	.23	.15	-.09	.02	*.67	-.07	-.15	*.56	.13	
Ba	.02	.63	.06	*.34	-.18	-.11	-.05	-.29	.05	-.15	-.04	.05		
Cr	-.05	.76	.14	.22	.23	-.04	.03	.12	.61	-.09	.03			
W	.16	-.47	-.13	.06	.03	*.21	.2	*.43	-.1	*.88				
Bi	.43	1	.45	.06	.36	*.5	.04	.1	.07					
Ni	.08	.22	.23	.27	.44	.18	-.12	*.37						
Co	.32	.16	-.03	.1	.19	*.31	.08							
Mo	.36	.46	.34	.15	.17	*.32								
Cu	*.44	.33	.18	.09	.22									
Zn	*.53	-.3	*.29	*.53										
Pb	*.56	*.52	.23											
As	.18	*.54												
Sb	*.58													
Au	.61													

جدول ۴- ب) توالی پاراژنیکی کانه‌زایی گرمابی در منطقه میوه‌رود.



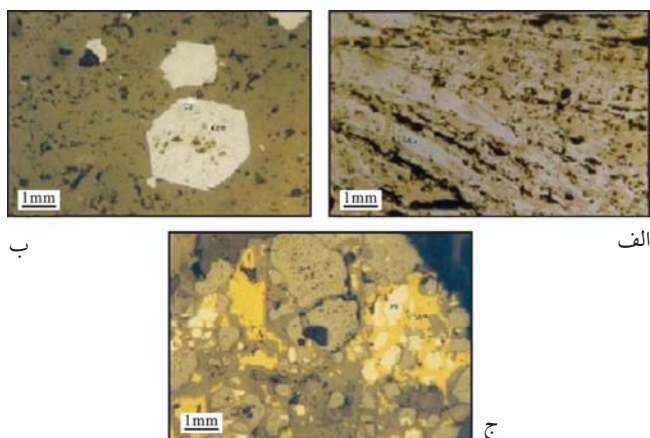
جدول ۲- پارامترهای آماری عناصر به همراه میانگین پوسته‌ای آنها (میانگین پوسته‌ای از کتاب اصول ژئوشیمی، نوشته میسون و مر استخراج شده است).

مقادیر بر حسب ppm می‌باشد. تعداد نمونه=N، میانگین= $\bar{X}$ ، واریانس=V، انحراف میار=S.D، ضریب تغییرات=C.V، چولگی=sk، کشیدگی=Ku، مقدار کمینه=Min، مقدار بیشینه=Max، میانه=Md، کلارک=C، حد آستانه‌ای بی‌هنجری Fu، میانه=Md، کلارک=C، حد آستانه‌ای بی‌هنجری Fu.

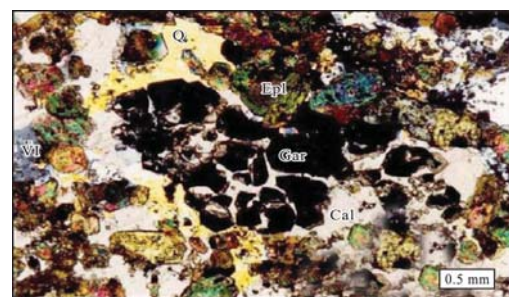
	Ag	Sb	Pb	Zn	Cu	Mo	Co	Ni	Bi	Cr	Mn	V	W	As	Al
N	479	35	701	165	605	522	688	330	27	149	148	299	376	174	322
$\bar{X}$	117	126	28	104	230	2.7	27	68	54	141	420	45	208	14	2.58
V	.379	.936	1.185	.696	.255	1.27	0.659	.833	1.319	.833	.555	.418	.429	2.8	3.69
SD	.616	.968	1.089	.834	1.567	1.127	.812	.911	1.149	.913	.977	.647	.655	1.675	1.923
C.V	13.27	19.99	16.84	16.97	31.55	12.72	12.99	16.86	1.05	19.5	26.77	11.56	15.95	137.89	213.32
sk	-.253	.88	1.178	1.076	.908	2.259	.06	.209	1.054	-.203	-.529	-.411	-.5	1.841	.955
Ku	9.019	2.605	6.583	5.987	3.426	11.93	3.351	3.85	4.138	3.49	3.07	4.943	2.401	7.091	3.136
Min	1	30	5	5	5	4	3	5	5	5	20	5	30	.05	.06
Max	773	700	9000	3000	12000	5000	700	1000	700	1500	4000	500	800	469	589
Md	100	60	15	50	40	1	10	45	30	100	300	40	200	.2	.2
C	1.8	.2	13	70	55	1.5	25	75	2	100	950	135	1.5	.004	.07
Fu	450	330	96	250	740	6.5	110	190	90	650	1700	110	900	2.1	4.2

جدول ۴- الف) توالی پاراژنیکی اسکارن‌های منطقه میوه‌رود. کانه‌های سوپرژن مشابه با جدول ۴- ب است.

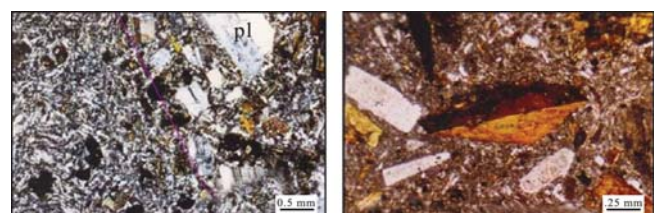




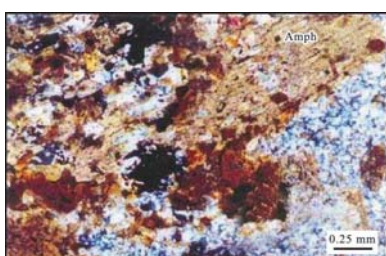
شکل ۲-۳- کانه‌های بخش اسکارنی (الف) مگنتیت مارتینی شده  
ب) پیریت‌های شکل دار هوازده در بخش اسکارنی  
ج) پیریت نسل اول که شکستگی‌های آن توسط کالکوپیریت نسل اول پر شده است.



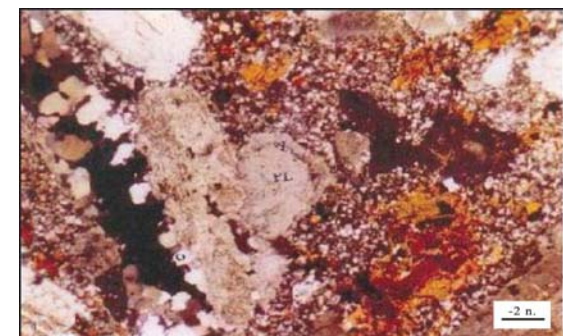
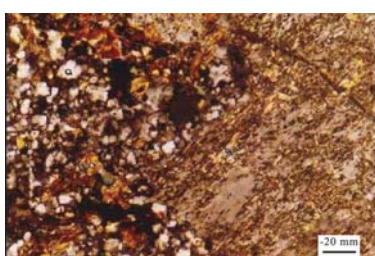
شکل ۱-۳- اسکارن حاوی گارنت (Gar)، اپیدوت (Epi)، پلازیو کلاز (Pl)،  
ولاستونیت (VI)، کلسیت (Cal) و کوارتز (Q).



شکل ۴- بلورهای درشت آمفیبول و پلازیو کلاز در سنگ‌های نیمه‌آتشفشانی. در  
شکل سمت چپ همیری (کنتاکت) دایک دیابازی ریز بافت با دایک موتوونیتی  
حاوی فنوکریست‌های درشت‌تر قابل مشاهده است.

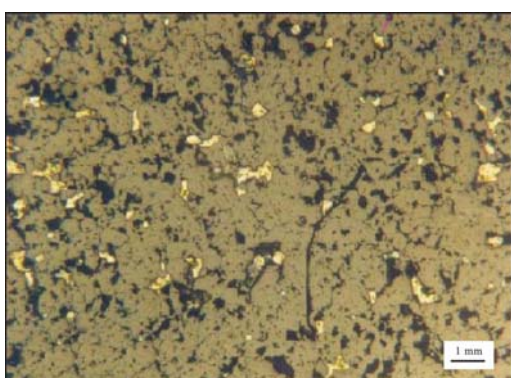


شکل ۵- جانشینی آمفیبول‌های اولیه توسط بیوتیت در زون پتاسیک غفار یوردنی.



شکل ۶- جانشینی پلازیو کلازها از حاشیه توسط فلدسپارهای قلیانی ریز، بیوتیت  
ثانویه نیز دیده می‌شود.

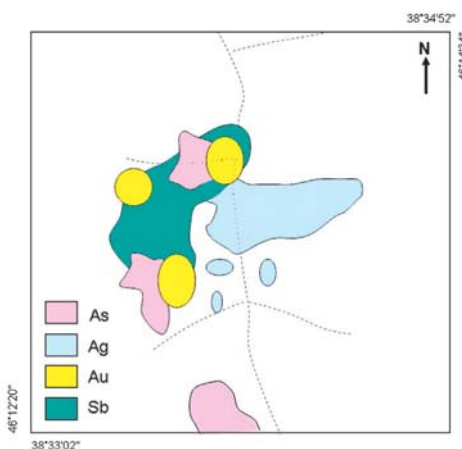
شکل ۷- دگرسانی فیلیک در منطقه غفار یوردنی، شامل کوارتز، سریسیت و پیریت.



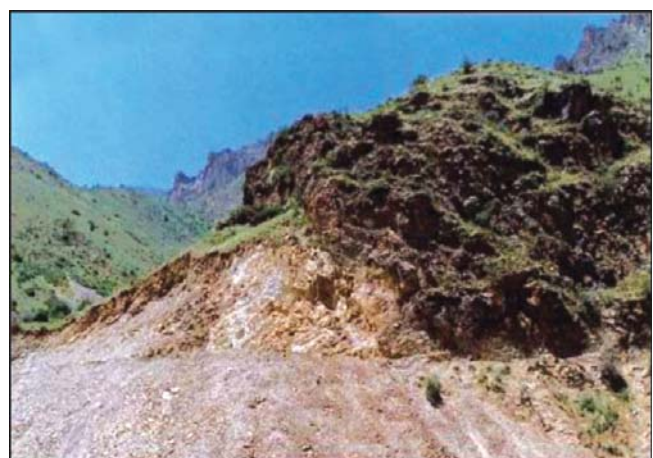
شکل ۹- ذرات پراکنده کالکوپیریت در سنگ‌های نیمه‌آتشفشانی منطقه بیوک واری



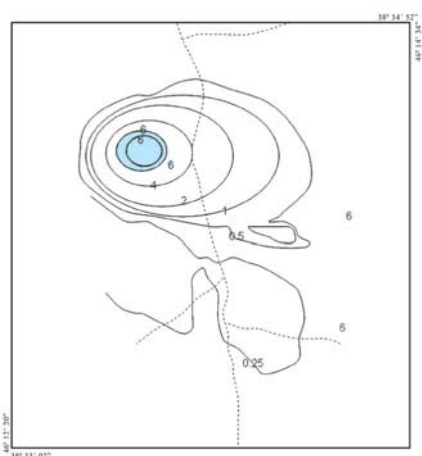
شکل ۸- دانه‌های پیریت در وسط رگجه‌های کوارتز.



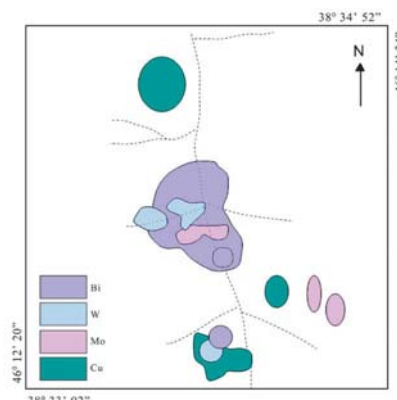
شکل ۱۱- انطباق بی‌هنگاری عناصر روی کانساری



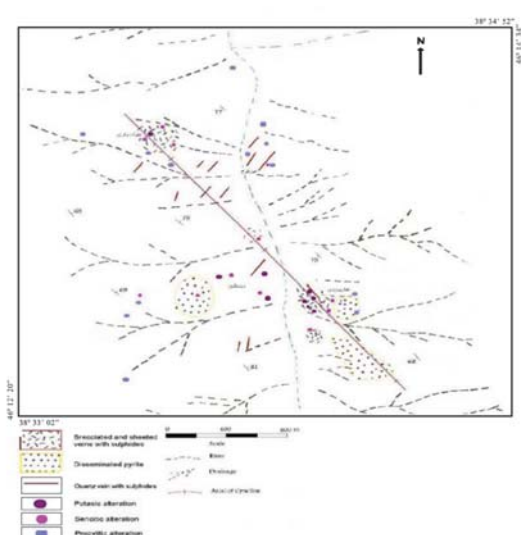
شکل ۱۰- دگرسانی سیلیسی در واحدهای رسوبی کرتاسه بالایی- پالتوسن در ضلع باختری دره میوه‌رود (نگاه به باخترا)، روند عمومی زون دگرسانی NW-SW است.



شکل ۱۳- هاله نسبت حاصل ضرب عناصر روی کانساری به عناصر زیر کانساری (As.Ag.Pb/Cu.w.Co). بیشترین مقدار این نسبت در شمال منطقه (بیوکواری) و کمترین مقدار آن در جنوب منطقه دیده می‌شود.



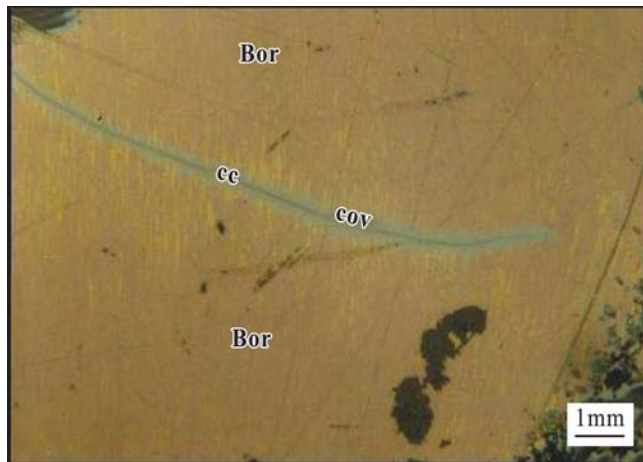
شکل ۱۲- انطباق بی‌هنگاری‌های عناصر Bi,Cu,Mo,W.



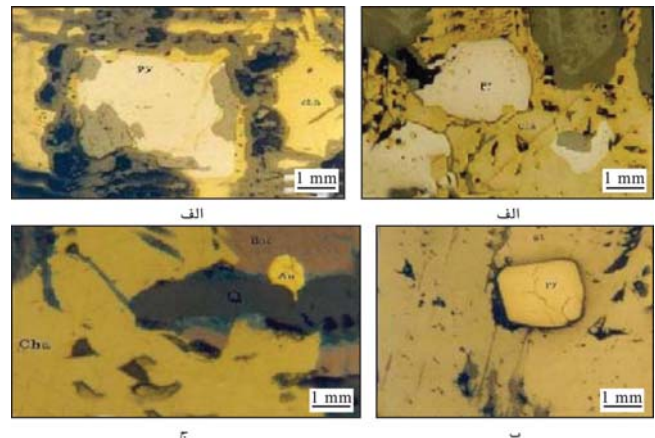
شکل ۱۵- توزیع مکانی انواع کانه‌زایی‌ها و دگرسانی‌ها در منطقه میوه‌رود



شکل ۱۴- رگجه‌های تقریباً موازی کوارتز دودی (sheeted veinlets) در منطقه بیوکواری



شکل ۱۷- برونزانتش (اکسلوشن) کالکوپیریت (زرد) در بورنیت (قهوه‌ای) در کانی سازی نوع رگچه‌ای



شکل ۱۶- روابط پارازیتیکی کانه‌ها در کانه‌زایی نوع رگچه‌ای.  
الف) جانشینی پیریت نسل ۲ توسط کالکوپیریت نسل ۲ (ب) احاطه شدن بلورهای پیریت توسط استیبنیت (ج) همراهی کالکوپیریت، بورنیت و طلا

## کتابنگاری

- ارجمندی، ر. و علیرضایی، س، ۱۳۸۴- منشأ گوگرد در کانی‌های سولفیدی مناطق دگرسانی - کانی سازی مختلف در ذخیره مس - طلای خاروانا، آشوری، شمال غرب ایران، چکیده مقالات بیست و چهارمین گردهمایی علوم زمین، سازمان زمین‌شناسی و اکتشافات معدنی بنی آدم، ف، ۱۳۸۴- بررسی زمین‌شناسی اقتصادی و خاستگاه احتمالی کانی سازی مس و طلدار در محدوده اکتشافی نبی جان کلیبر(شمال باختری اهر- آذربایجان خاوری)، پایان نامه کارشناسی ارشد، پژوهشکده علوم زمین، ص: ۲۰۱
- پورنیک، پ، ۱۳۸۱- زمین‌شناسی اقتصادی و اکتشاف طلا در محدوده اکتشافی شرف آباد- هیزه جان، پایان نامه کارشناسی ارشد، پژوهشکده علوم زمین جمالی، ح، ۱۳۷۷- بررسی‌های زمین‌شناسی، ژئوشیمی و تعیین ژنز احتمالی کانسار پلی متال میوه رود، آذربایجان شرقی، پایان نامه کارشناسی ارشد، دانشگاه تربیت معلم تهران جمالی، ح، ۱۳۸۴- گراش زمین‌شناسی اقتصادی ورقه یکصد هزارم کلیبر، زون ارسباران، سازمان زمین‌شناسی و اکتشافات معدنی حاجی مرادی، ع، ۱۳۷۷- مطالعه پترولولوژی و زمین‌شناسی اقتصادی خروانق، پایان نامه کارشناسی ارشد، دانشگاه آزاد اسلامی- واحد تهران شمال حسنی پاک، ع.ا، ۱۳۸۱- اکتشافات ذخایر طلا، انتشارات دانشگاه تهران، چاپ دوم زنوزی، ر، ۱۳۸۵- کانی‌شناسی و تعیین ژنز کانسار طلا در محدوده مسجد داغی (جنوب شرق جلفا)، پایان نامه کارشناسی ارشد، دانشگاه آزاد اسلامی، ص: ۱۳۷ شرکت منطقه‌ای معدن آذربایجان، ۱۳۷۹- گراش مطالعه پژوهشی کانسار بوزلوخ- قره داش(جلد دوم)، شرکت سهامی کل معدن و فلزات شرکت مهندسین مشاور پیچاب کاوش، ۱۳۸۱، گراش مطالعه پژوهشی زون ارسباران شکوهی، ح، ۱۳۸۱- اکتشاف مقدماتی طلا در محدوده نبی جان، کلیبر، سازمان زمین‌شناسی و اکتشافات معدنی کشور علیرضایی، س، ارجمندزاده، ر. و عینعلی، م، ۱۳۸۴- بررسی ارتباط بین توده نفوذی و اسکارن در خاروانا، آذربایجان شرقی، شمال غرب ایران، چکیده مقالات بیست و چهارمین گردهمایی علوم زمین، سازمان زمین‌شناسی و اکتشافات معدنی قدیم زاده، ح، ۱۳۸۱- زمین‌شناسی اقتصادی و اکتشاف طلا در محدوده اکتشافی صفتی خانلو- نقدوز، پایان نامه کارشناسی ارشد، پژوهشکده علوم زمین معین وزیری، ح، ۱۳۷۶- دیباچه‌ای بر ماقم‌سیم ایران، جهاد دانشگاهی دانشگاه تربیت معلم تهران مهندسین مشاور کاوشگران، ۱۳۷۶- گراش اکتشافات نیمه‌تفصیلی فلزات پایه در منطقه عمومی میوه رود(گراش شماره ۲، مطالعات ژئوشیمیایی)، اداره کل معدن و فلزات آذربایجان شرقی

## References

- Bazine, D. and Hubner, H., 1969- Copper deposits in Iran ,G.S.I. Report, No:13  
 Beus A. A. and Grigorian S.V., 1977- Geochemical exploration methods for mineral deposits. Trans. by Schneider, Applied publishing  
 Carig J.R. H., 2005- Classifying,distinguishing and exploring for Intrusion-Related Gold System, The Gangue,p:1-18, In internet.  
 Cooke, D. R., Mcpall, D. C. and Blom, M. S., 1996- Epithermal gold mineralization , Acupan, Baguio District, Philipines, geology, mineralization, alteration and the thermochemical environment of ore deposition, Econ. Geo. Vol:91, PP:243- 272  
 Foster, D. and Secombe, Ph., 2004 -Controls on skarn mineralization and alteration at the Cadia deposits, New South Wales, Australia, Econ. Geo. vol:99, pp:761-788.  
 Foster,1991- Gold metallogeny and exploration,Pub:Blackie,433p.  
 Guillet, J. M. and Park, Ch. F., 1986- The geology of ore deposits, W. H. Freeman and company  
 Hedenquist, Izard, Arribas & White, 1996- Epithermal gold deposits: style, characteristicics, and exploration, Pub: by: the society of Resource Geology, printed

- in Japans Tokyo
- Hedenquist, J. W. and Henley R.W., 1987- Hydrotherml eruptions of the waiotapu geothermal system,Newlond:Their origion,associated breccias and relation to precious metal mineralization.Eco.Geo. vol:30,pp:1640- 1668.
- Karimzadeh, S.A.,2004 - Geological effects of endoskarn formation in the Mazraeh Cu – Fe skarn deposit in northwestern Iran, Geochemistry, Exploration, Environment and Analysis, vol:4, pp:307- 315
- Kazmin, Sportshikof, Ricou, Zonenshain and Boulin, 1986- Structure and evolution of the passive margin of the Estern Tethys, Tectonophysics, Vol: 123, PP: 153 – 179
- Martin, Izard, A. and Cepedal, M. A., 1997- The Elval deposit an example of late events, Cantabrian Mountains, Spain, In “Mineral Deposits ” , Papunen ( ed ) .
- Muller, D. and Groves, D ., 1997- Potassic igneous rocks and associated gold – copper mineralization, Springer – Verlag.
- Ramdohr, P.,1980-The ore minerals and their inter growthths, 2 nd ed . pergomon press
- Sawkins, F. J., 1990- Metal deposits in relation to plate tectonics, 2 nd ed. springer – verlag
- Shelley, D., 1993- Igneous and metamorphic rocks under the microscope, Chapman and Hall .
- Sillito, R. H., 1990- Epithermal models: genetic types, geochemical controls and shallow features, In: IUGS – UNESCO deposits program conferense Ottawa, Canada , Geo. Assoc. Canada, special paper, 40 .
- Thompson, M. and Howarth, R. J., 1976- Duplicate analysis in geochemical practice ( 2 parts ). Analyst. 101, 690 – 709
- Winkler, H. G. F. , 1976- Petrogenesis of metamorphic rocks, 4 nd. ed. By: springer – verlay. Newyorc Inc .
- Yusta, I. and Velasco, F. and Herrero, J. M., 1998- Anomaly threshold estimation and data normalization using E.D.A statistics: application to lithogeochemical exploration in lower Cretaceous Zn – Pb carbonate – hosted deposits. Northen spain, Applied Geochemistry, Vol : 13, PP:421 – 439 .